# 高効率太陽光発電に資する1µm帯近赤外ナノ蛍光体の開発

Development of 1 µm-band NIR Nanophosphors for High-efficiency Photovoltaics

#### M21助自92

代表研究者 長 谷 川 拓 哉 東北大学 多元物質科学研究所 講師

Takuya Hasegawa

Lecturer, Institute of Multidisciplinary Research for Advanced Materials, Tohoku University

Crystalline silicon solar cells are used in a wide range of applications. However, the maximum theoretical conversion efficiency of crystalline silicon solar cells is as low as 29% because the absorption bands of silicon do not sufficiently match the solar spectrum. To address this issue, a spectral converted film can be combined with the solar cell to efficiently convert wavelengths in the region that silicon cannot absorb into wavelengths to which it can respond, thereby improving the maximum conversion efficiency. However, there are few known near-infrared emitting phosphors with high efficiency, and materials with high efficiency have not been discovered. Furthermore, since the phosphors are coated on the solar cell surface as particles, their optical scattering is an issue. In this study, we attempted to search for nano-sized phosphors with an emission peak in the 1  $\mu$ m band.

In this study, we discovered the new materials by adding  $Yb^{3+}$  as a luminescent ion and  $Bi^{3+}$  as a sensitizer to  $Gd_2MoO_6$ . In the synthesis of the  $Gd_2MoO_6$ :  $Yb^{3+}$ - $Bi^{3+}$  nanophosphor, we succeeded in producing nano-sized particles of  $50\sim100$  nm by a solution process via a solvothermal reaction to suppress optical visible light scattering. From the optical absorption spectrum, strong absorption in the UV region and optical absorption derived from  $Yb^{3+}$  in the 1  $\mu$ m band were observed, and no noticeable absorption was observed in the visible region, suggesting that the particles exhibited good optical absorption properties. Photoluminescence measurements revealed a broad excitation absorption band in the UV region derived from Mo-O charge-transfer transitions and a  $Yb^{3+}$ -specific luminescence band at around 980 nm. The photoluminescence intensity was doubled by co-doping with  $Bi^{3+}$ , indicating that  $Bi^{3+}$  sensitizes the NIR PL of  $Yb^{3+}$ . Furthermore, composite films of  $Gd_2MoO_6$ :  $Yb^{3+}$ - $Bi^{3+}$  nanophosphors dispersed in polydimethylsiloxane (PDMS) were fabricated and mounted in solar cells, and a slight enhancement was observed.

### 研究目的

結晶性シリコン太陽電池はコストの面や大規 模化が比較的容易であるなどの利点から、大 型発電施設や小型機器まで応用されているデ バイスである。しかし、シリコン太陽電池の理 論エネルギー変換効率は29%と低く、現在の最大変換効率が23%程度まで実現されてきている。言い換えれば、現行のシリコン太陽電池では、最大でも6%の改善しか見込めない。さらなる結晶性シリコン太陽電池の効率向上に向けて、蛍光体材料を用いることで、シリコ

ンの吸収波長と太陽光スペクトルとの間のミス マッチを解消することが提案されている。特に 本研究では、シリコンの最大吸収ピークとなる 1 um近傍の近赤外光発光蛍光体を結晶性シリ コン太陽電池の波長変換材として用いることに 注目した。ただし、近赤外光蛍光体はこれまで 十分に研究されてきていないため、シリコン太 陽電池用の蛍光体材料自身の開発が必要不可 欠である。そこで本研究では、シリコン太陽電 池用の蛍光体には、1)シリコンの光電変換が 全く利用できない紫外光領域を効率的に吸収 すること、2) 可視光に吸収がないこと、3) 可 視光散乱抑制に有利なナノ粒子性を持つこと が求められる。そうした材料設計指針をもとに、 本研究の目的は、上述の3つの特性を満足した 1μmで発光する蛍光体の開発である。

# 概 要

結晶性シリコン太陽電池は、1954年に開発 されて以来、小型機器から大型発電施設まで 多岐にわたって利用されている。しかし、結晶 性シリコン太陽電池の最大理論変換効率は 29%と低く、これはシリコンの吸収バンドと太 陽光スペクトルが十分に一致していないことに 由来している。したがって、太陽電池の効率向 上に向けて、シリコンセルそのものの改良もさ ることながら、それ以上に太陽電池モジュール としての潜在的な変換効率の向上が重要であ るといえる。そうした課題に対して、波長変換 膜を太陽電池と複合化させることで、シリコン が吸収できない領域の波長を効率的に応答可 能な波長に変換させることが可能となり、最大 変換効率の向上が見込める。波長変換材料に は蛍光材料が用いられるが、π電子系有機材料 は発光効率や光学設計の面から優れているも のの、屋外での使用・大規模化を考慮すると、 耐久性の低さやコストの観点から適切ではな い。一方で、セラミックスをはじめとした無機 材料系は、化学的・物理的耐久性が高く、元素を適切に選択し、合成プロセスを単純化すれば、コストの抑制がしやすい特長がある。しかし、高い効率の近赤外発光蛍光体がほとんど知られていないことと、効率の高い材料が発見されていないこと、さらに、粒子として太陽電池表面にコーティングするため、その光学散乱が課題になる。つまり、無機材料系波長変換材における課題は、1)近赤外光蛍光体の研究が未開拓であるため、適した蛍光体材料が未発見であること、2)結晶性粒子であるために、粗大粒子による大きな散乱によって、太陽電池への到達光子が減少することの2つである。

本研究では、これらの課題を解決するべく1 μm帯のナノ蛍光体の創成を目指し、Gd<sub>2</sub>MoO<sub>6</sub> に発光イオンとしてYb3+、増感剤としてBi3+を 添加した新しい蛍光体材料を創成した。この Gd<sub>2</sub>MoO<sub>6</sub>:Yb<sup>3+</sup>-Bi<sup>3+</sup>ナノ蛍光体では、添加イ オンはどちらもGdサイトを占有していることが XRD解析から明らかになり、XAFS法による化 学状態解析によりGd、Yb、Biは+3価、Moは+6 価を取っており、いずれも目的とする酸化状態 であることが分かった。さらに、光学的な可視 光散乱を抑えるために、ソルボサーマル反応を 経由した溶液プロセスを用いることで50~100 nm程度のナノサイズ粒子を作製することに成 功した。UV-vis-NIR拡散反射スペクトルから、 Mo-O間の電荷移動遷移に由来する紫外光に強 い光吸収を持つことがわかり、Yb3+を添加する ことで980 nm付近にYb3+特有の吸収が見られ、 さらにはBi3+添加によりMo-Oの紫外光吸収端 近傍にショルダーピークが観測された。また、 可視光域には目立った吸収は見られなかった ことから、太陽光をほぼ阻害することなく、シ リコン太陽電池への影響が小さいため、良好 な光吸収特性を示したことが示唆された。蛍 光特性評価から、紫外光域にMo-O電荷移動 遷移由来のブロードな励起吸収帯を持ち、980 nm付近にYb3+特有の蛍光バンドが確認された。 さらに、Bi<sup>3+</sup>を共添加することでその蛍光強度 は2倍ほどに向上したことから、Bi³+がYb³+の近 赤外蛍光を増感していることが分かった。ま た、GdをYあるいはLuで置換した蛍光体も同 様に作製し、その蛍光特性を評価したところ、 Gdが最も良好な蛍光強度を示した。良好な蛍 光特性を示したGd<sub>2</sub>MoO<sub>6</sub>:Yb<sup>3+</sup>-Bi<sup>3+</sup>ナノ蛍光体 をポリジメチルシロキサン (PDMS) に分散させ たコンポジットフィルムを作製し、スペクトル コンバータ膜の光吸収・透過スペクトルは、紫 外光に強い吸収がある一方、可視光には吸収 がない優れた光透過特性を有することが分かっ た。しかし、太陽電池へと実装したところ、ご くわずかな効率向上にとどまった。これは近赤 外光の量子効率が3%程度と十分に高くないこ とが原因であると示唆された。ただし、低い量 子効率であるにもかかわらずエネルギー変換効 率の向上が見られたことは、蛍光体を用いたシ リコン太陽電池の効率向上効果が期待できる ことを示唆するものとなった。つまり、本研究 により太陽電池の潜在的な効率向上に対して スペクトルコンバータが有用であることを示す 重要な知見を得たといえる。

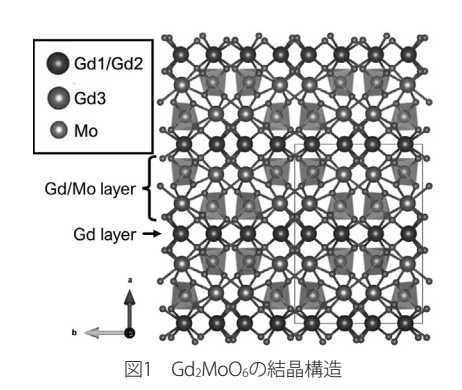
# 本 文

本研究では、結晶性シリコン太陽電池の潜在的な変換効率の向上に資するスペクトルコンバータ蛍光体の創成に向けて、1 μm (1000 nm) 近傍に発光ピークを持つ近赤外発光蛍光体のナノサイズ化を目指した。その材料創成に向けて、1000 nm近傍に発光ピークを持つ発光イオンとして、イッテルビウム (Yb³+) イオンに着目した。Yb³+イオンは、希土類イオンの一つで、4f-4f軌道内での電子遷移を示す。その遷移エ

ネルギーは約1.2 eV (980 nm) で、シリコンの吸 収ピークに近いため、結晶性シリコン太陽電池 のスペクトルコンバータ蛍光体として良好な蛍 光特性が期待される。Yb3+を導入するホスト結 晶としては、モリブデン酸塩、とりわけ Gd<sub>2</sub>MoO<sub>6</sub>に注目した。この結晶は、MoO<sub>5</sub>配位 多面体層とGd層とが積層した層状構造を持ち (図1、VESTAプログラム[1]により描画)、MoOs は、その電荷遷移エネルギーが比較的小さいた め、近紫外光域での効率的な吸収が可能であ ると期待される。さらに、Yb3+の蛍光強度を増 感させることが期待されるBi3+を共添加した、 新規なGd<sub>2</sub>MoO<sub>6</sub>:Yb<sup>3+</sup>-Bi<sup>3+</sup>蛍光体の創成を試み た。先の通り、ナノサイズ化は可視光散乱を 抑制するため、スペクトルコンバータ蛍光体に は重要である。そこで、Gd<sub>2</sub>MoO<sub>6</sub>:Yb<sup>3+</sup>-Bi<sup>3+</sup>蛍 光体はソルボサーマル反応法により作成するこ とで、ナノサイズ化を目指した。さらに、同結 晶構造をとるRE2MoO6(RE=Y、Lu)についても 合成し、希土類イオンサイトの化学種が蛍光特 性に与える影響を調べた。

### 実験方法

ナノ蛍光体の合成:Gd<sub>2</sub>MoO<sub>6</sub>:Yb<sup>3+</sup>-Bi<sup>3+</sup>
(GMO:Yb-Bi) ならびにRE<sub>2</sub>MoO<sub>6</sub>:Yb<sup>3+</sup>-Bi<sup>3+</sup>
(REMO:Yb-Bi) 蛍光体の合成:RE (NO<sub>3</sub>)<sub>3</sub>・
nH<sub>2</sub>O (RE=Y、n=6; Gd、n=6; Lu)、Yb (NO<sub>3</sub>)<sub>3</sub>・



 $nH_2O$ ならびにBi  $(NO_3)_3 \cdot 5H_2O$ をイソプロパノールに溶解させたのち、 $(NH_4)_6Mo_7O_{24} \cdot 4H_2O$ を添加し、攪拌した。ついで、その溶液を100 mLの密閉したテフロンオートクレーブ容器に移し、220℃で5時間ソルボサーマル反応した。反応後、生成した沈殿物をろ過により分離し、得られた沈殿物を60℃で真空乾燥することで、結晶前駆体を得た。得られた結晶前駆体を、アルミナ反応容器に移し、850℃5時間大気下で熱処理することで最終生成物を得た。

GMO:Yb-Biナノ蛍光体コンポジット波長変換フィルムの作製:波長変換フィルムは、作製した代表的なGMO:Yb-Biナノ蛍光体をポリジメチルシロキサン (PDMS) に分散することでGMO:Yb-Bi/PDMSコンポジットフィルムを作製した。DOW製SYLGARD184シリコーンエラストマーキットを用い、主剤3gと硬化剤0.3gをシャーレで混合することでPDMS溶剤として用いた。そのポリマー液に、あらかじめクロロホルムに分散させておいたGMO:Yb-Biナノ蛍光体懸濁液 (1 mg/mL)を3 mL添加し、十分に混合させ、脱泡させた。ポリマー溶液は、ドクターブレード法で成膜した(図2B)。乾燥後の平均膜厚は、マイクロメータにて測定され、おおよそ0.3 mmであった。

キャラクタリゼーション:得られた

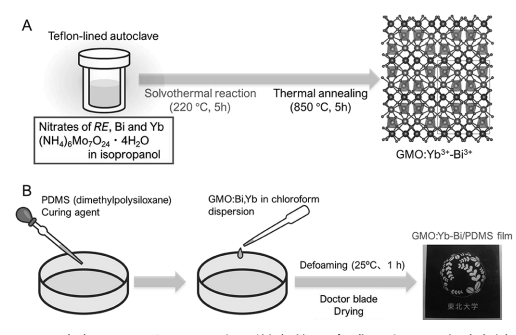


図2 (A) GMO:Yb³+-Bi³+ナノ蛍光体の合成スキームと(B) 波 長変換膜作製スキーム

RE2MoO<sub>6</sub>:Yb³+-Bi³+ナノ蛍光体は、CuKα線による粉末X線回折(XRD)法で結晶相の同定を行い、そのプロファイルをもとに、Rietan-FPプログラムを用いたRietveld解析により構造の精密化を行った。得られた粒子は走査電子顕微鏡(FE-SEM)および透過電子顕微鏡(TEM)により形態観察を行った。各金属元素の化学状態はKEK-PFのBL12CビームラインにてX線吸収分光(XAFS)法により行い、そのスペクトルデータはAthenaプログラム<sup>[2]</sup>を用いて解析した。試料の光吸収特性は、紫外可視近赤外分光(UV-vis-NIR)法を用い、積分球を搭載した拡散反射法によって測定した。得られた蛍光体粉末の蛍光特性は、150Wキセノンランプを光源とした蛍光分光光度計を用いて評価した。

太陽電池の特性評価:太陽電池の光電変換特性は、ソーラーシミュレータを光源として、電流-電圧 (I-V) 特性にて評価した。光源には300 Wキセノンランプを用いて、ソーラーシミュレータミラーによって疑似太陽光を照射した。照射強度は、AM1.5Gとなるよう、シリコンフォトディテクタにて光出力を調節した。市販の太陽電池セルに作製したGMO:Yb-Bi/PDMSコンポジットフィルムおよび参照試料としてPDMSフィルムを貼付して、I-V特性を評価した。

#### 結果と考察

 $Gd_2MoO_6$ ナノ蛍光体に対して、ホスト結晶 (GMO)、 $Yb^{3+}$ 8 mol%単独ドープ (GMO:Yb)、 $Yb^{3+}$ 8 mol%と $Bi^{3+}$ 1 mol%を共ドープした試料 (GMO:Yb-Bi)のXRDパターンを図3に示す。いずれの試料においても、参照XRDパターンとよく一致し、単斜晶系の空間群C2/cであらわされる $Gd_2MoO_6$ が単一相で得られたことがわかった。Rietveld解析によりGMO、GMO:Yb、GMO:Yb-Biナノ蛍光体の格子体積を見積もると、それぞれ949.4 (4) ų、946 (1) ų、946.3 (7)

 $Å^3$ となり、 $Gd^{3+}(R_{Gd}=1.053Å^3)$  より小さな $Yb^{3+}(R_{Yb}=0.985Å)$  3が置換固溶されることで格子が収縮し、さらにGdより大きな $Bi^{3+}(R_{Bi}=1.17Å)$  3が共置換されたことで、格子が拡大するといった挙動が観測された。なお、 $Yb^{3+}$ ならびに $Bi^{3+}$ はいずれも $Mo^{6+}(R_{Mo}=0.5Å)$  3よりもイオン半径が大きい。この格子体積変化の挙動から、 $Yb^{3+}$ ならびに $Bi^{3+}$ はGdサイトに置換固溶されていることが分かった。

GMO:Yb-Biナノ蛍光体に対して、X線吸収 微細近傍構造 (XANES) 解析を用いた化学状 態解析を行った(図3)。Gdは+3価の状態のみ が安定酸化数であるため、GMOホストにおい て、参照試料であるGd<sub>2</sub>O<sub>3</sub>と同様の吸収ピー クを持つことから+3価の状態を取っていること が分かる。Ybにおいても、参照試料Yb<sub>2</sub>O<sub>3</sub>と同 様の吸収ピークを示した。+2価も準安定的に とりうるものの、反応雰囲気が大気下であるこ とから、+2価の状態を取ることは稀有であるた め、GMOナノ蛍光体のYbは+3価の状態を取っ ていることは妥当である。Biは、+3価と+5価の 酸化状態を取ることが知られているが、図3C からGMO蛍光体の吸収端位置は、参照試料 となるBi<sub>2</sub>O<sub>3</sub>とほぼ同じ位置にあることから、Bi もまた+3価の状態を取っていることが分かっ た。Moは+2~+6価の様々な酸化状態をとるが、

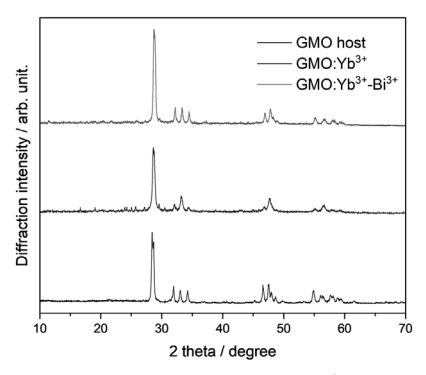


図3 GMO:Yb-Biナノ蛍光体のXRDパターン

 $MoO_3$ 参照試料と同一位置に吸収端があることから、+6価であるといえる。これらXANESスペクトルから、合成したGMO蛍光体は目的組成である $Gd_2MoO_6$ の酸化状態と同様の状態であることが分かった。

ソルボサーマル反応により作製したGMO:Yb-Biナノ蛍光体のSEM像ならびにTEM像を図5に示す。SEM像から粒子サイズは100 nm程度であることが見て取れる。古典的な固相反応法で作製したGMOの粒子サイズは1 μmを超えることが知られ[4]、またゾルーゲル法にて作成した場合においても、~500 nm程度であることを踏まえると[5]、ソルボサーマル法は粒子成長を抑えることができる適切な手法であることが分かった。さらに、TEM像から、粒子は50~100

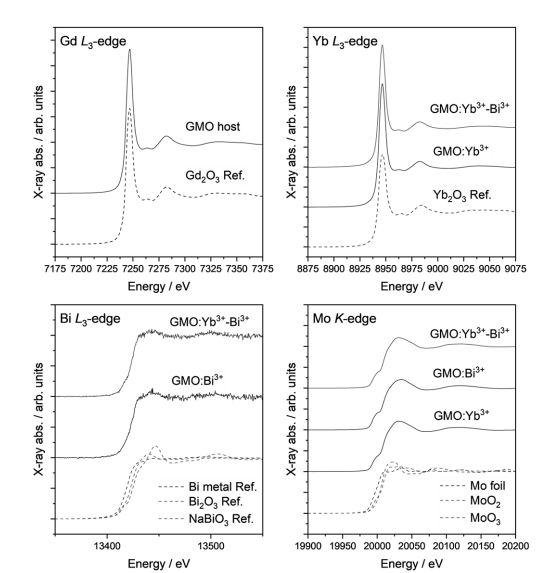


図4 GMO:8mol%Yb-1mol%Biナノ蛍光体のXANESスペクト ル:Gd L₃端, Yb L₃端, Bi L₃端, Mo K端

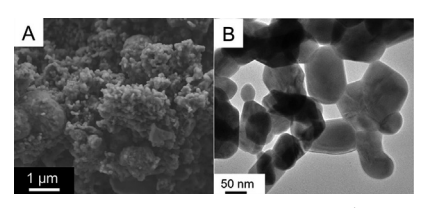


図5 GMO:Yb-Biナノ蛍光体の(A) SEM像ならびに(B) TEM像

nm程度の球状を持つ。一般的には、50 nm以下であれば可視光領域の散乱を抑制できるため、GMO:Yb-Biナノ蛍光体は、可視光散乱に対しても良好なサイズであることが示唆された。

図6に、GMOホスト、GMO:Ybならびに GMO:Yb-Biナノ蛍光体のUV-vis-NIR拡散反 射スペクトルを示す。いずれの試料においても、 ~400 nm領域の紫外~近紫外光領域に強い光 学吸収を持つことが分かる。これは、O2--Mo6+ 間の電荷移動遷移に由来する光学吸収である。 さらに、GMOホストにおいては、400 nmよりも 長波長側の可視光領域から近赤外光領域まで に吸収を持たないことが見て取れる。したがっ て、GMOは本材料にとって適切な結晶ホスト であるといえる。Yb3+をドープしたGMO:Ybな らびにGMO:Yb-Biはいずれも、1000nm付近 にYb<sup>3+</sup>の<sup>2</sup>F<sub>7/2</sub>→<sup>2</sup>F<sub>5/2</sub>遷移に由来する4f-4f禁制 遷移の光学吸収が観測され、それらの吸収強 度は同程度であった。このことから、どちら 結晶も同程度のYb3+が導入されたといえる。 GMO:Yb-Biにおいては、近紫外光吸収端の 裾に新たな吸収バンドが観測された。これは、 Bi<sup>3+</sup>の¹S<sub>0</sub>→³P<sub>1</sub>電子遷移であると推測され、Bi<sup>3+</sup> が光学特性に影響を及ぼすことが示唆された。

図7AにGMO:YbならびにGMO:Yb-Biナノ 蛍光体の蛍光 (PL)・蛍光励起 (PLE) スペクト

ルを示す。GMO:YbのPLEスペクトルから、UVvis-NIR拡散反射スペクトルと同様、~400 nmを 吸収端とするブロードな励起吸収を持つことが 分かった。これは、先の通り $O^{2-}$ - $Mo^{6+}$ 間の電 荷移動遷移に由来するもので、その励起吸収 端は吸収スペクトルとほぼ一致することから、 バンド間遷移に基づくといえる。さらにPLス ペクトルでは、980 nmにYb<sup>3+</sup>の<sup>2</sup>F<sub>7/2</sub>→<sup>2</sup>F<sub>5/2</sub>遷移 に基づくPLピークが観測された。このPLピー ク位置は、結晶性シリコンの吸収極大位置と よく一致しており、GMO:Yb蛍光体が波長変換 材として機能することを示唆するものである。 GMO:Yb-Biナノ蛍光体のPL-PLEスペクトルを 見ると、どちらのピークもGMO:Ybに対して2 倍以上の強度を持つことが分かった。この結 果から、Bi3+を添加することでYb3+のPL強度が 大幅に向上したといえ、Bi3+が増感剤として働 いていることが分かった。図7Bに、種々の濃 度でYb3+を添加したGMO:Yb-Biナノ蛍光体の PLスペクトルを示す。PL強度はYb3+5 mol%か ら8 mol%にかけて増加傾向にあって、8 mol% の時にピーク強度が最大となり、それより高濃 度では濃度消光によって徐々に減少していく 挙動が見られた。したがって、最適なYb3+ドー プ濃度は8 mol%であることが分かった。

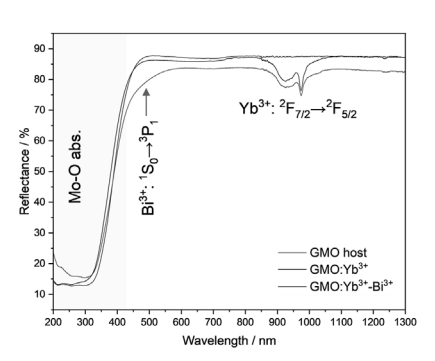
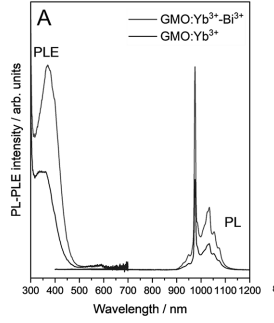


図6 GMOホスト、GMO:YbならびにGMO:Yb-Biナノ蛍光体 のUV-vis-NIR拡散反射スペクトル



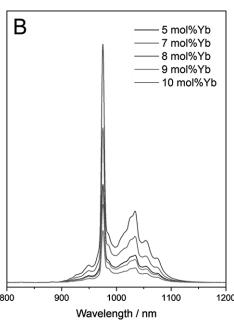


図7 (A) GMO:YbならびにGMO:Yb-Biナノ蛍光体のPL-PLEスペクトル。(B) GMO:x mol%Yb-1 mol%Bi (x=5-10) ナノ蛍光体のPLスペクトル。

得られた $Yb^{3+}8$  mol%、 $Bi^{3+}1$  mol%ドープした $RE_2MoO_6$ ナノ蛍光体のXRDパターンを図8に示す。いずれの試料においても、参照XRDパターンとよく一致し、単斜晶系の空間群C2/cであらわされる $RE_2MoO_6$ が単一相で得られたことがわかった。また、REがGd、Y、Luと置換されるにしたがって、回折位置が全体的に低角シフトしていることが分かった。これは、8配位でのイオン半径がそれぞれ $R_{Gd}$ =1.053Å、 $R_{Y}$ =1.019Å、 $R_{Lu}$ =0.977Åであり[3]、そのホスト結晶を構成する希土類イオンのイオン半径の縮小に対応している。

図9Aに、得られたREMO:Yb-Bi (RE=Gd、Y、Lu) ナノ蛍光体のUV-vis-NIR拡散反射スペクトルを示す。いずれの試料においても、1000 nm付近にYb<sup>3+</sup>の<sup>2</sup>F<sub>7/2</sub>→<sup>2</sup>F<sub>5/2</sub>遷移の吸収ピークが観測され、ほぼ同様の形状を示していた。一方、近紫外光域にあるMo-O電荷移動遷移の

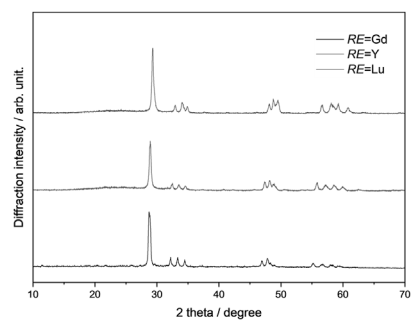


図8 REMO:Yb-Bi (RE=Gd, Y, Lu) ナノ蛍光体のXRDパターン

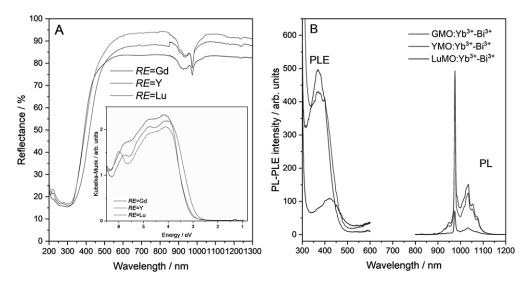
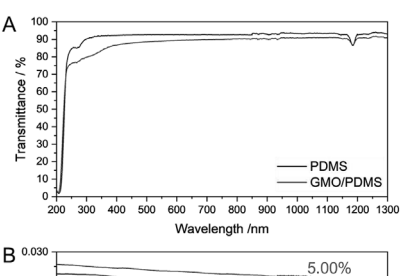


図9 REMO:Yb-Bi (RE=Gd, Y, Lu) ナノ蛍光体の (A) UV-vis-NIR拡散反射スペクトルならびに (B) PL-PLEスペクトル

光吸収端は、わずかにシフトしていた。RE=GdとYはほぼ同等の吸収端であったが、RE=Luに おいては、長波長側へのシフトが観測された。 これは、格子の収縮に伴い、バンドギャップ が狭窄したと考えられる。図9BにREMO:Yb-Bi (RE=Gd、Y、Lu) ナノ蛍光体のPL-PLEスペ クトルを示す。PL強度を比較すると、RE=Gd が最も高く、次いでY、Luの順であった。つま り、PL強度の序列は格子サイズに相関してい る。格子の縮小は発光イオン (Yb3+) 間距離が 短縮化していることを意味し、それゆえ、同一 発光イオン濃度においては、Yb-Yb間のエネル ギー移動が生じやすい環境にあるといえる。し たがって、この挙動は、発光イオン間のエネル ギー回遊による消光が生じたためであると考え られる。PLEスペクトルから、Mo-O電荷移動遷 移の励起吸収端がGd、Y、Luの順で長波長シフ トした。この吸収帯は、バンド間遷移であるた め、UV-vis-NIR拡散反射スペクトルの吸収挙 動とよく一致している。RE=GdならびにYの励 起吸収は、おおむね450 nmで落ちきるのに対 して、RE=Luは、500 nm程度までシフトしてい る。この結果から、RE=Gdは可視光域をほとん ど吸収せず、かつそのPL強度も良好であった ことから、GMO:Yb-Biが結晶性シリコン太陽 電池用スペクトルコンバーターに最も適した蛍 光体であるといえる。

得られたGMO:Yb-Biナノ蛍光体をPDMSに分散させることでGMO:Yb-Bi/PDMSコンポジットフィルムを作製した。得られたコンポジットフィルムは平均膜厚0.2 mmであった。このコンポジットフィルムのUV-vis-NIR透過スペクトルを図10Aに示す。参照となるPDMS単独のフィルムは紫外光から近赤外光まで吸収がない透明膜である。一方、作製したコンポジットフィルムは、紫外光域(300 nm)に10%程度の高い吸光度を持つ。これは、GMO:Yb-Biナ

ノ蛍光体粉末の拡散反射スペクトルのMo-O電 荷移動遷移吸収と一致しているため、GMO:Yb-Bi由来の吸収である。一方、GMO:Yb-Biナノ 蛍光体粉末の拡散反射スペクトルで観測され たYb3+由来の近赤外吸収はほとんど観測され なかった。さらに、可視光域 (550 nm) の透過 率もわずか3%しか減少していなかったことか ら、可視光域の光散乱を抑制できていると考 えられる。これは、ソルボサーマル反応によ り達成したナノ粒子化の恩恵である。さらに、 GMO:Yb-Bi/PDMSコンポジットフィルムを貼 り付けて修飾したシリコン太陽電池における 電流-電圧 (I-V) 特性を評価した (図10B)。な お、PDMS単独フィルムを張り付けた太陽電池 を参照試料として用いた。これは、市販の太 陽電池は屈折率の調節といった最適化がすで になされているため、ナノ蛍光体の影響を見る ためにPDMS単独フィルムを用いた。測定した I-V曲線から、コンポジットフィルム修飾太陽 電池は、PDMS修飾フィルムに対して、約0.3% の効率の増加が見積もられた。残念ながら、 大幅な向上とまではいかなかったが、この原因



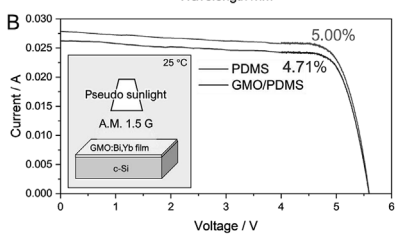


図10 (A) GMO:Yb-Bi/PDMSコンポジットフィルムのUV-vis-NIR透過スペクトルならびに (B) GMO:Yb-Bi/PDMSコンポジットフィルム修飾シリコン太陽電池のI-V曲線

を調べるために、GMO:Yb-Biの蛍光量子収率を測定したところ、365 nmの励起光照射でわずか3.2%であった。これが、大幅な効率向上が達成できなかった原因であろう。ただし、わずか3%程度の量子効率でさえも0.3%の効率向上ができたことは、材料をさらに探索し、高効率な近赤外発光を実現することで数%の効率の向上が見込めると言い換えられる。すなわち、本研究により、蛍光体を用いたシリコン太陽電池の効率向上効果が期待できることを見出すことができる有用な研究となったと言える。

### 謝辞

本研究における蛍光特性は、NIMS 蛍光体グループの評価装置により行いました。蛍光体グループリーダー 武田隆史 博士ならびに主任研究員 中西貴之博士、ICYSリサーチフェローJian Xu博士には大変お世話になりました。また、XAFS測定には高エネルギー加速器研究機構(KEK)フォトンファクトリー(PF)BL12Cビームラインにて、課題番号2020P001ならびに2021G608のもと実験を行いました。ここで関係各位に感謝申し上げます。

### 参考文献

- K. Momma, F. Izumi, J. Appl. Crystallogr. 2008, 41, 653.
- [2] B. Ravel, M. Newville, *J. Synchrotron Radiat*. **2005**, *12*, 537.
- [3] R. D. Shannon, Acta Crystallogr. Sect. A 1976, 32, 751.
- [4] F. Sun, R. Xie, L. Guan, C. Zhang, *J. Mater. Res.* **2017**, *32*, 539.
- [5] M. Pang, X. Liu, J. Lin, J. Mater. Res. 2005, 20, 2676.

### 今後の研究の見通し

本研究では、Gd<sub>2</sub>MoO<sub>6</sub>:Yb<sup>3+</sup>-Bi<sup>3+</sup>ナノ蛍光体の開発に成功し、その蛍光特性や粒子形態特

性は結晶性シリコン太陽電池に適したものであったが、その蛍光効率の低さが足枷となり、十分な変換効率向上は達成できなかった。ただし、現在までに、合成法の異なる手法もトライしており、やや粒子は大きいものの蛍光特性の大幅な改善には成功している。したがって今後の展開としては、ナノ粒子化を達成するための合成方法を確立することで、課題であった蛍光効率を改善しつつもナノサイズを実現する蛍光体の開発を目指す。

#### 本助成金による主な発表論文、著書名

#### [学会発表実績]

1) 半谷泰生, 長谷川拓哉, 武田隆史, 殷澍, 太陽 電池応用に向けた波長変換型ナノ蛍光体 Gd2MoO6:Bi,Ybの合成, 第21回東北大学多元物 質科学研究所研究発表会, 2021年12月9-10日, オ ンライン.

- 2) 半谷泰生,長谷川拓哉,中西貴之,武田隆史, 殷澍,ダウンコンバージョン型ナノ蛍光体 Gd<sub>2</sub>MoO<sub>6</sub>:Bi,Ybの合成と近赤外蛍光特性,第38 回希土類討論会,2022年5月11-12日,熊本.
- 3) T. Hangai, T. Hasegawa, T. Nakanishi, T. Takeda, S. Yin, Solvothermal synthesis and NIR luminescence of RE<sub>2</sub>MoO<sub>6</sub>:Bi,Yb (RE=Gd,Y,Lu) nanophosphor, 令和4年度化学系学協会東北大会, 2022年9月17-18日,盛岡.
- 4) 【Invited】 Takuya Hasegawa, Development of NIR-luminescent nano-phosphor materials for enhancement of photovoltaic efficiency of c-Si solar cell, 2022 Annual Joint Symposium Tohoku Univ. & Taipei Tech, 2022年11月28日、オンライン.
- 5) 【発表予定】半谷 泰生, 長谷川 拓哉, 許 健, 中西 貴之, 武田 隆史, 殷 シュウ, Revealing the sensitization mechanism of NIR luminescence in Bi3+-doped Gd2MoO6:Yb nanophosphor, 第61回セラミックス 基礎科学討論会, 2023年1月7-8日, 岡山.